

中文核心期刊/CSCD

请通过网上投稿系统投稿 网址: http://www.aes.org.cn

低镉高产春小麦品种筛选及富集转运特征分析

马凤仪, 马立超, 赵宝平, 王永宁, 鲁瑞英, 郭晓宇, 陈淼, 刘景辉

引用本文:

马凤仪, 马立超, 赵宝平, 王永宁, 鲁瑞英, 郭晓宇, 陈淼, 刘景辉. 低镉高产春小麦品种筛选及富集转运特征分析[J]. 农业环境科学学报, 2023, 42(5): 994-1003.

在线阅读 View online: https://doi.org/10.11654/jaes.2022-0980

您可能感兴趣的其他文章

Articles you may be interested in

不同类型水稻镉富集与转运能力的差异分析

蔡秋玲, 林大松, 王果, 王迪

农业环境科学学报. 2016, 35(6): 1028-1033 https://doi.org/10.11654/jaes.2016.06.002

不同燕麦品种籽粒镉富集特征及安全风险评价

马凤仪, 赵宝平, 张茹, 杨波, 王永宁, 郭晓宇, 陈淼, 刘景辉 农业环境科学学报. 2022, 41(11): 2458-2467 https://doi.org/10.11654/jaes.2022-0180

不同玉米(Zeamays)品种对镉锌积累与转运的差异研究

杜彩艳, 张乃明, 雷宝坤, 胡万里, 付斌, 陈安强, 毛妍婷, 木霖, 王红华, 严婷婷, 段宗颜, 雷梅农业环境科学学报. 2017, 36(1): 16-23 https://doi.org/10.11654/jaes.2016-0872

不同小麦品种对大田中低量镉富集及转运研究

熊孜,李菊梅,赵会薇,马义兵

农业环境科学学报. 2018, 37(1): 36-44 https://doi.org/10.11654/jaes.2017-0811

长江中下游麦区不同小麦品种镉积累差异研究

易超, 史高玲, 陈恒强, 姚澄, 潘云俊, 石月红, 李标, 高岩 农业环境科学学报. 2022, 41(6): 1164-1174 https://doi.org/10.11654/jaes.2021-1373



关注微信公众号, 获得更多资讯信息

马凤仪,马立超,赵宝平,等.低镉高产春小麦品种筛选及富集转运特征分析[J].农业环境科学学报,2023,42(5):994-1003.

MA F Y, MA L C, ZHAO B P, et al. Screening Cd enrichment and transport characteristics of low-cadmium and high-yield spring wheat varieties[J]. *Journal of Agro-Environment Science*, 2023, 42(5): 994–1003.

低镉高产春小麦品种筛选及富集转运特征分析

马凤仪1,马立超1,赵宝平1*,王永宁2,鲁瑞英3,郭晓宇2,陈森4,刘景辉1

(1. 内蒙古农业大学农学院, 呼和浩特 010019; 2. 内蒙古农牧业生态与资源保护中心, 呼和浩特 010000; 3. 巴彦淖尔市耕地质量监测保护中心, 巴彦淖尔 015000; 4. 乌拉特后旗农村牧区生态能源环保站, 巴彦淖尔 015000)

摘 要:筛选具有低 Cd 积累且高产特性的春小麦(Triticum aestivum L.)品种,可使春小麦在轻度 Cd 污染农田得到安全生产利用。本研究以21个春小麦品种(编号 X1~X21)为研究对象,于2020年和2021年连续2年开展大田试验,通过籽粒 Cd 含量和产量聚类分析,筛选具有低 Cd 高产特性的春小麦品种,并分析不同类型春小麦产量、Cd 富集、转运系数差异。结果表明,X4、X6~X8、X10、X16~X21等11个品种具有低 Cd 高产特性,且标靶危害系数均小于1,X14为 Cd 高积累且低产品种,这两种类型分别占供试品种的52.38%和4.76%;综合2年试验结果,低产中Cd类型春小麦品种茎的富集系数较高产低Cd类型春小麦品种高0.4倍,低产高Cd类型春小麦品种根、茎、叶、颖壳到籽粒的Cd转运系数较高产低Cd类型春小麦品种分别显著高2.5、2.2、1.8、2.2倍。研究表明,丰强6号、丰强11号等11个高产低Cd春小麦品种可在Cd污染农田推广种植。

关键词:春小麦;镉(Cd);低Cd高产;富集系数;转运系数

中图分类号: X53; X173; S512.12 文献标志码: A 文章编号: 1672-2043(2023)05-0994-10 doi:10.11654/jaes.2022-0980

Screening Cd enrichment and transport characteristics of low-cadmium and high-yield spring wheat varieties

MA Fengyi¹, MA Lichao¹, ZHAO Baoping¹*, WANG Yongning², LU Ruiying³, GUO Xiaoyu², CHEN Miao⁴, LIU Jinghui¹

(1. College of Agriculture, Inner Mongolia Agricultural University, Hohhot 010019; 2. Inner Mongolia Agriculture and Animal Husbandry Ecological and Resource Protection Center, Hohhot 010000; 3. Bayannur City Cultivated Land Quality Monitoring and Protection Center, Bayannur 015000; 4. Urad Rear Banner Eco-Energy and Environmental Protection Station in a rural pastoral area, Bayannur 015000)

Abstract: Screening of spring wheat (*Triticum aestivum* L.) varieties with low Cd accumulation and high yield characteristics can make spring wheat safe for production and utilization in mildly Cd contaminated farmlands. In this study, 21 spring wheat varieties (serial number X1–X21) were studied, and field experiments were carried out in 2020 and 2021. Spring wheat varieties with low Cd and high yield characteristics were screened through grain Cd content and yield clustering analysis, and the differences in yield, Cd bioaccumulation factor, and transport factor of the different varieties were analyzed. The results showed that 11 varieties, including X4, X6–X8, X10, X16–X21, had the characteristics of low Cd and high yield, and a target hazard factor of <1. X14 is a variety with high Cd accumulation and low yield, accounting for 52.38% and 4.76% of the tested varieties, respectively. Based on the results of the two-year experiment, the bioaccumulation factor of the stems of low-yielding and medium- Cd spring wheat varieties was 0.4 times higher, and the transport factor of roots, stems, leaves and husks of low-yielding and high-Cd spring wheat varieties were 2.5, 2.2, 1.8 times and 2.2 times higher than those

收稿日期:2022-10-05 录用日期:2023-01-02

作者简介:马凤仪(1998—),山东省邹平市人,硕士研究生,从事土壤与产地环境污染管控与修复研究。E-mail:mfy130227@163.com 马立超与马凤仪同等贡献

^{*}通信作者:赵宝平 E-mail:zhaobaoping82@163.com

基金项目:财政部和农业农村部:国家现代农业产业技术体系;农业农村部耕地重金属污染防治联合攻关项目

of high-yielding and low-Cd spring wheat varieties, respectively. In summary, 11 high-yield and low-Cd spring wheat varieties, such as Fenggiang No.6 and Fenggiang No.11, can be promoted and planted in Cd-polluted farmlands.

Keywords; spring wheat; cadmium(Cd); low Cd accumulation and high yield; bioaccumulation factor; transport factor

近年来,随着工农业的迅速发展,工业"三废"和 农事操作不当导致农田重金属污染等环境问题凸显, 粮食安全问题也受到广泛关注[1-2]。重金属Cd在所有 无机污染物中超标率最高^[3],农田Cd可以通过土壤转 移积累到作物的可食部位,降低作物品质进而威胁人 体健康四,减少作物可食部位Cd积累量、保证作物安 全生产已成为环境科学领域关注的重点[5]。目前,筛 选重金属低积累品种是解决农作物中重金属超标的 重要途径之一[6]。

不同作物对重金属的吸收、累积存在种间和种内 差异四。诸多学者通过不同评价指标已对水稻图、小 麦[9]、玉米[10]等作物重金属低积累品种的吸收累积特 征进行了大量研究,其中,小麦对Cd具有较强的富集 能力[11]。目前,有关冬小麦Cd低积累品种筛选的研 究很多,明毅等四通过大田试验和土培试验相结合的 方式,从所选用的139份小麦材料中筛选籽粒Cd低 积累且高产型品种,获取了4份具有稳定的籽粒Cd 低积累且高产特性的小麦材料。

本试验广泛收集春小麦主产区主推的优质小麦 品种,在内蒙古河套灌区Cd污染农田连续开展2a大 田试验,进行籽粒Cd低积累且高产春小麦品种筛选, 并分析不同类型春小麦各器官Cd富集系数、Cd从各 器官到籽粒的转运系数与产量的相关性差异,旨在为 Cd污染农田的安全生产提供理论依据。

材料与方法

1.1 试验地概况

试验于2020年和2021年在内蒙古河套灌区某地 进行,地处温带,属高原大陆性气候,年平均气温 14.3 ℃,试验地土壤为碱性棕钙土。供试区由于有色 金属矿山开采导致土壤重金属Cd超标,土壤Cd含量 2020年为1.5 mg·kg⁻¹、2021年为1.2 mg·kg⁻¹,基本理 化性质如表1所示。

1.2 供试材料与试验设计

供试春小麦品种21个:农麦2号、农麦4号、农麦 5号由内蒙古自治区农牧业科学院提供;丰强6号、丰 强9号、丰强10号、丰强11号、吉春12号由吉林省农 业科学院提供;巴麦6号、巴麦12号、巴麦13号、巴麦 15号、巴麦22号由巴彦淖尔市农业科学院提供; M7723、EM604、PJ627、H3015、宁2038、宁春4号、宁 春50号、宁春57号由宁夏回族自治区农业科学院提 供。试验品种编号详见表2。

试验采用随机区组设计,小区面积为3.6 m×6 m= 21.6 m², 行距 15 cm, 播种密度 4×106 株·hm⁻²(基本 苗),重复3次;机器开沟,人工播种,2020年于3月19 日播种,2021年于3月21日播种;种肥磷酸二铵(N 18%、P₂O₅ 46%) 25 kg·hm⁻², 复合肥(N 16%、P₂O₅ 16%、K₂O 16%) 15 kg·hm⁻², 拔节期追施尿素 40 kg· hm⁻²,整个生育期灌水3次,其他种植管理方式按照当 地常规习惯种植。

1.3 样品采集与处理

1.3.1 土壤样品采集与处理

于成熟期取土样,每品种小区按照5点取样,取耕 层 30 cm 的根际土壤,剔除土壤中的非土壤成分,在室 内自然风干后分别过2 mm 和 0.15 mm 土筛后备用。

1.3.2 植物样品采集与处理

各小区春小麦收获时,按照3点取样,各采集20 cm 整株春小麦,将其分为根(根系先后用自来水、去 离子水洗涤)、茎秆、叶、颖壳和籽粒样品,分别混合后 按照四分法留取样品,105 ℃杀青 30 min,85 ℃烘至

表1 大田试验供试土壤理化性质

Table 1 The physical and chemical properties of the field experiment tested soil

年份 Year	全氮 Total nitrogen/%	全磷 Total phosphorus/%	全钾 Total potassium/ (g·kg ⁻¹)	有机质 Organic matter/ (g·kg ⁻¹)	有效磷 Available phosphorus/ (mg·kg ⁻¹)	速效钾 Fast-acting potassium/ (mg·kg ⁻¹)	碱解氮 Alkaline hydrolyzed nitrogen/(mg·kg ⁻¹)	pH值	阳离子交换量 Cation exchange capacity/ (cmol·kg ⁻¹)
2020	0.031	0.079	2.27	25.7	82	298	150	6.87	8.2
2021	0.145	0.095	9.85	26.2	34	301	132	7.82	19.7

(4)

表2 试验供试品种编号

Table 2 Tested variety number

编号	品种	编号	品种	编号	品种
Serial number	Variety	Serial number	Variety	Serial number	Variety
X1	农麦4号 Nongmai No.4	X8	丰强 10号 Fengqiang No.10	X15	学2038 Ning No.2038
X2	农麦2号 Nongmai No.2	X9	巴麦13号 Bamai No.13	X16	宁春57号 Ningchun No.57
Х3	农麦5号 Nongmai No.5	X10	巴丰6号 Bafeng No.6	X17	EM604
X4	丰强6号 Fengqiang No.6	X11	巴麦15号 Bamai No.15	X18	PJ627
X5	丰强9号 Fengqiang No.9	X12	巴麦22号 Bamai No.22	X19	宁春50号 Ningchun No.50
X6	吉春12号 Jichun No.12	X13	巴麦12号 Bamai No.12	X20	H3015
X7	丰强 11号 Fengqiang No.11	X14	M7723	X21	宁春4号 Ningchun No.4

恒量,用粉碎机磨碎后过0.15 mm筛待用。

1.4 测定指标与方法

1.4.1 样品 Cd 含量测定

(1)使用微波消解-石墨炉原子吸收分光光度法测定土壤样品 Cd 全量[13]。

称取 0.20 g过 100 目筛的土壤样品,放入与微波消解仪配套的消解管中,采用三酸消解体系,依次放入4 mL HNO_3 、2 mL HCl、2 mL HF,浸泡过夜,加盖密封后放入仪器中,每个样品 5 个平行,同时做空白实验。反应分为 3 个阶段,第 1 阶段: 120 °C, 40 min;第 2 阶段: 150 °C, 5 min;第 3 阶段: 185 °C, 20 min。消解结束后冷却 1 h,在通风橱中赶酸至近干,定容至 50 mL,过滤。消解后样品 Cd 浓度用石墨炉原子吸收分光光度计测定。

(2)使用微波消解-石墨炉原子吸收分光光度法测定植物样品的Cd含量[14]。

称取 0.5000 g 干燥样品,放入与微波消解仪配套的消解管中,依次放入 7 mL HNO3,2 mL H2O2,浸泡过夜,加盖密封后放入仪器中,每个样品 3 个平行,同时做空白实验。反应分为 3 个阶段,第 1 阶段:120 ℃,10 min;第 2 阶段:150 ℃,10 min;第 3 阶段:185 ℃,30 min。消解结束后冷却 1 h,在通风橱中赶酸至近干,定容至 25 mL,过滤。消解后样品 Cd浓度用石墨炉原子吸收分光光度计测定。

1.4.2 不同品种春小麦产量的测定

成熟后在每一品种小区随机选1 m²收割穗头,脱粒晒干后测定质量,即1 m²产量。

1.5 数据处理

富集系数BCF=各器官Cd含量/土壤Cd含量 (1) 转运系数TF=籽粒Cd含量/各器官Cd含量 (2) 重金属膳食暴露量EDI=($C\cdot FIR\cdot EF\cdot ED$)/(365 $Bw\cdot$

AT) (3)

标靶危害系数[15]THQ=EDI/RfD

式中:EDI为重金属膳食暴露量;THQ为标靶危害系数,可用于评估人体通过食物摄取重金属的风险,当 $THQ \le 1.0$ 时,认为人体负荷的重金属对人体健康造成的影响不明显;C为小麦籽粒中重金属含量, μ g·kg⁻¹;FIR为每人每日谷物摄入量,g·人⁻¹·d⁻¹;EF为暴露频率,取365 d·a⁻¹;ED为暴露年限,取70 a;Bw为成人的平均体质量,取65 kg·人⁻¹;AT为生命期望值,取70 a;365 为转化系数;RfD为消化食物的比率, μ g·kg·d⁻¹。有研究^[12]指出,成年人平均每天的谷类食物食用量为261.1 g·人⁻¹·d⁻¹;根据美国整合风险信息系统,Cd的RfD为1.0 μ g·kg⁻¹·d⁻¹。

采用 Excel 2019 进行一般数据统计,采用 SPSS 25.0 统计软件进行单因素方差分析(ANOVA),采用最小显著差异法(LSD)进行不同处理均值的差异显著性比较,采用系统聚类法对不同品种进行聚类分析;采用 Excel 2019 软件进行图形处理。

2 结果分析

2.1 不同品种春小麦各器官 Cd 含量及籽粒 Cd 安全风 险评价

2.1.1 各器官 Cd 含量及籽粒 Cd 含量聚类分析

不同品种春小麦根、茎、叶、颖壳和籽粒 Cd含量如表3所示。2020、2021两年试验结果综合表明,不同品种春小麦各器官 Cd含量总体趋势为根>叶>颖壳≈茎>籽粒;X10籽粒 Cd含量在两年试验中均符合国家食品安全标准值0.1 mg·kg⁻¹(GB 2715—2016);籽粒 Cd含量在2020年超标率为95.24%,2021年超标率为52.38%。

将2020年和2021年不同品种春小麦籽粒的Cd 含量进行综合聚类分析,可分为3类,即高Cd积累型、中Cd积累型和低Cd积累型。如图1所示,具有籽

表3 不同品种春小麦各器官 Cd 含量(mg·kg⁻¹)

Table 3 Cd content in each organ of spring wheat of different varieties ($mg \cdot kg^{-1}$)

年份 Year	品种 Variety	根 Root	茎Stem	g wheat of different varie	颖壳 Glume	籽粒 Grain
				0.777±0.019cde	0.329±0.029bcd	
2020	X1	0.870±0.149bcdefg	0.350±0.003c			0.254±0.008bc
	X2	1.005±0.122b	0.469±0.08a	0.901±0.004abcd	0.348±0.012abc	0.265±0.007b
	X3	1.073±0.034ab	0.312±0.004cd	0.910±0.065ab	0.315±0.012cd	0.208±0.021cde
	X4	0.980±0.022bcde	0.295±0.021def	0.723±0.026e	0.320±0.012cd	0.175±0.018def
	X5	0.769±0.052cdefg	0.266±0.011efg	0.739±0.057e	0.355±0.017abc	0.166±0.046efg
	X6	0.975±0.191bcde	0.226±0.005ghi	0.792±0.056cde	$0.328 \pm 0.006 \text{bed}$	0.167±0.019ef
	X7	$0.998 \pm 0.113 \text{bcd}$	0.254±0.002fgh	0.792±0.049cde	0.351±0.023abc	0.125±0.02jk
	X8	$0.724 \pm 0.116 \text{fg}$	0.159±0.006jk	$0.726 \pm 0.017 e$	$0.343 \pm 0.026 $ bed	0.154±0.011fgh
	Х9	$0.748{\pm}0.095\mathrm{defg}$	$0.243 \pm 0.01 \text{gh}$	$0.822 \pm 0.025 \mathrm{cd}$	$0.337 \pm 0.02 \text{bed}$	0.121±0.01ijk
	X10	$0.681 \pm 0.029 \mathrm{g}$	0.137±0.007k	$0.786 \pm 0.012 \mathrm{cde}$	0.391±0.047a	0.077±0.015k
	X11	$0.901{\pm}0.049 bcdefg$	$0.407 \pm 0.015 \mathrm{b}$	0.934±0.062a	$0.323 \pm 0.031 cd$	$0.216 \pm 0.015 \mathrm{cd}$
	X12	1.480±0.234a	0.476±0.024a	$0.834{\pm}0.103\mathrm{abcd}$	$0.374 \pm 0.016 ab$	0.321±0.019a
	X13	$0.709 \pm 0.113 \mathrm{fg}$	$0.462 \pm 0.009 a$	$0.897 {\pm} 0.046 \mathrm{abcd}$	$0.351 \pm 0.017 \mathrm{abc}$	$0.211{\pm}0.013\mathrm{cde}$
	X14	$0.823{\pm}0.126\mathrm{cdefg}$	$0.303 \pm 0.019 de$	$0.773 \pm 0.028 de$	$0.348{\pm}0.01\mathrm{abc}$	$0.220{\pm}0.005\mathrm{bcd}$
	X15	$0.739 \pm 0.028 \mathrm{efg}$	0.193±0.01ij	$0.761 \pm 0.051 \mathrm{e}$	$0.245 \pm 0.005 \mathrm{e}$	0.108±0.024hijk
	X16	$0.682 \pm 0.142 g$	$0.262 \pm 0.004 \mathrm{efg}$	$0.902 \pm 0.024 \mathrm{abc}$	$0.314 \pm 0.007 \mathrm{cd}$	0.113±0.031hijk
	X17	$0.848{\pm}0.055 \mathrm{bcdefg}$	0.237±0.007ghi	$0.748 \pm 0.031 e$	$0.331 \pm 0.009 bcd$	0.144±0.03fghij
	X18	$0.660 \pm 0.063 \mathrm{g}$	0.208±0.002hi	$0.723 \pm 0.049 e$	$0.255 \pm 0.054 e$	0.128±0.007fghij
	X19	$0.683 \pm 0.022 g$	$0.247 \pm 0.009 \mathrm{gh}$	$0.791 \pm 0.074 \mathrm{cde}$	$0.326 \pm 0.004 \mathrm{bcd}$	0.131±0.01fghij
	X20	$0.955{\pm}0.04\mathrm{bcdef}$	0.237±0.004ghi	$0.767 \pm 0.017 \mathrm{e}$	$0.285 \pm 0.015 de$	0.118±0.011ghijk
	X21	$0.914{\pm}0.047 \mathrm{bcdefg}$	$0.259 \pm 0.002 \mathrm{efg}$	$0.814 {\pm} 0.059 {\rm cde}$	$0.330 \pm 0.006 \text{bed}$	0.146±0.012fghi
	均值 Mean	0.868	0.286	0.806	0.329	0.170
2021	X1	0.722±0.018abcdef	0.253±0.146a	$0.469 \pm 0.02 \mathrm{ab}$	0.237±0.025a	$0.116 \pm 0.007 \mathrm{b}$
	X2	$0.638{\pm}0.065\mathrm{bcdef}$	0.217±0.151a	0.431±0.011ab	0.192±0.054a	$0.091 \pm 0.019 \mathrm{b}$
	Х3	$0.610{\pm}0.045\mathrm{bcdef}$	0.241±0.09a	$0.38{\pm}0.009\mathrm{abc}$	0.182±0.045a	$0.108 \pm 0.008 \mathrm{b}$
	X4	$0.831 \pm 0.097 ab$	0.234±0.109a	$0.424 \pm 0.067 ab$	0.293±0.071a	0.091±0.026b
	X5	0.840±0.048ab	0.234±0.156a	0.433±0.015ab	0.199±0.051a	0.212±0.058b
	X6	$0.531 \pm 0.06 ef$	0.263±0.149a	0.452±0.017ab	0.168±0.059a	0.108±0.022b
	X7	0.810±0.033abc	0.242±0.127a	$0.417 \pm 0.005 ab$	0.236±0.073a	0.098±0.001b
	X8	0.660±0.142abcdef	0.225±0.144a	0.418±0.017ab	0.267±0.026a	0.115±0.006b
	Х9	0.691±0.008abcdef	0.273±0.11a	0.372±0.041abc	0.308±0.024a	0.09±0.01b
	X10	0.770±0.011abcde	0.278±0.169a	0.449±0.046ab	0.247±0.083a	0.086±0.003b
	X11	0.761±0.066abcde	0.241±0.132a	0.441±0.015ab	0.201±0.023a	0.086±0.002b
	X12	0.890±0.1a	0.217±0.11a	0.406±0.047ab	0.34±0.037a	0.081±0.001b
	X13	0.751±0.087abcdef	0.271±0.148a	0.484±0.025a	0.205±0.02a	0.126±0.005b
	X14	0.630±0.085bcdef	0.269±0.152a	0.488±0.006a	0.226±0.048a	0.493±0.265a
	X15	0.511±0.039f	0.37±0.196a	0.333±0.074be	0.16±0.014a	0.347±0.208ab
	X16	0.572±0.079cdef	0.25±0.121a	0.423±0.016ab	0.217±0.022a	0.093±0.003b
	X17	0.551±0.014ef	0.262±0.125a	0.475±0.048a	0.234±0.029a	0.112±0.006b
	X17	0.560±0.014def	0.195±0.109a	0.356±0.023abc	0.196±0.026a	0.098±0.031b
	X19	0.791±0.06abcd	0.284±0.109a	0.477±0.085a	0.219±0.023a	0.124±0.028b
	X19 X20	0.720±0.025abcdef	0.274±0.137a	0.444±0.016ab	0.286±0.119a	0.107±0.023b
	X20 X21	0.591±0.095bcdef	0.162±0.111a	0.265±0.066c	0.25±0.098a	0.083±0.022b
	均值 Mean	0.686	0.102±0.111a		0.23±0.098a	0.083±0.022B
	四回 Mean	0.000	0.231	0.421	0.232	0.137

注:同列数据后不同字母表示不同品种之间存在显著差异(P<0.05);数据为平均值±标准误差。

Note: Different letters after the data in the same column indicate significant differences among different varieties (P<0.05); data are mean±standard error.

粒 Cd 低积累特性的品种有 X4、X7、X8、X9、X10、X16、X17、X18、X19、X20、X21, 占总品种数的 52.38%; 具有籽粒 Cd 中积累特性的品种有 X1、X2、X3、X5、X6、X11、X12、X13、X15, 占总品种数的 42.86%; 具有籽粒 Cd 高积累特性的品种为 X14, 占总品种数的 4.76%。

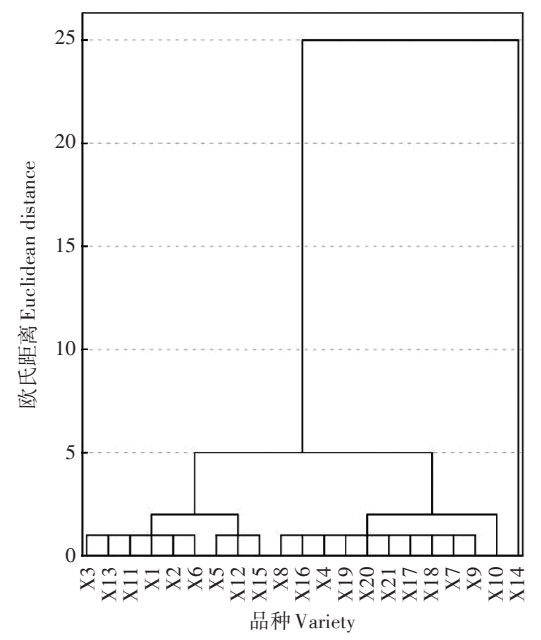


图1 不同春小麦品种籽粒 Cd 积累能力聚类分析

Figure 1 Cluster analysis of Cd accumulation ability in different spring wheat varieties

2.1.2 籽粒 Cd 安全风险评价

不同品种春小麦标靶危害系数如图 2 所示。 2020年 THQ 值介于 0.310~1.288 之间, 2021年 THQ 值介于 0.326~1.982 之间。 X3~X11、X13、X16~X21等 16个春小麦品种在两年试验中 THO 均小于 1。

2.2 不同品种春小麦产量

2.2.1 产量聚类分析

在相同Cd污染环境下不同品种春小麦产量如图3所示,不同品种春小麦产量存在显著差异。2020年X4产量最高,X14最低;X4较其他品种高7.89%~381.4%。2021年X7产量最高,X12最低;X7较其他品种高2.26%~332.31%。2020和2021两年数据综合表明,X12产量受Cd胁迫影响较大;X4和X7受Cd胁迫影响较小,产量较高且稳定。

将2020年和2021年不同品种春小麦产量进行综合聚类分析(图4),可分为2类,即高产和低产。其中,高产春小麦有X1~X8、X10、X13、X15~X21等17个品种,占供试品种的80.95%;低产春小麦有X9、X11、X12、X14等4个品种,占供试品种的19.05%。

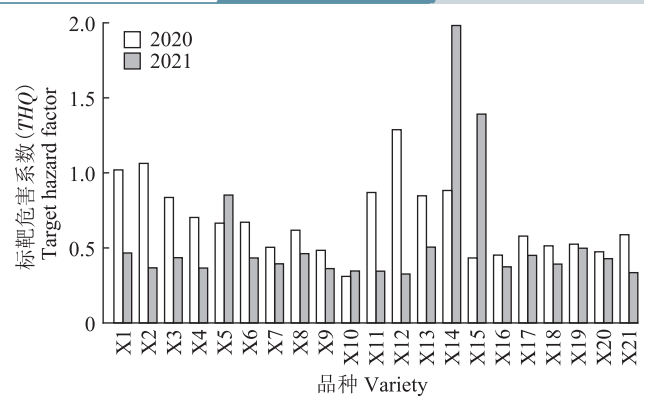


图2 不同品种春小麦标靶危害系数

Figure 2 Target hazard coefficients of different varieties of spring wheat

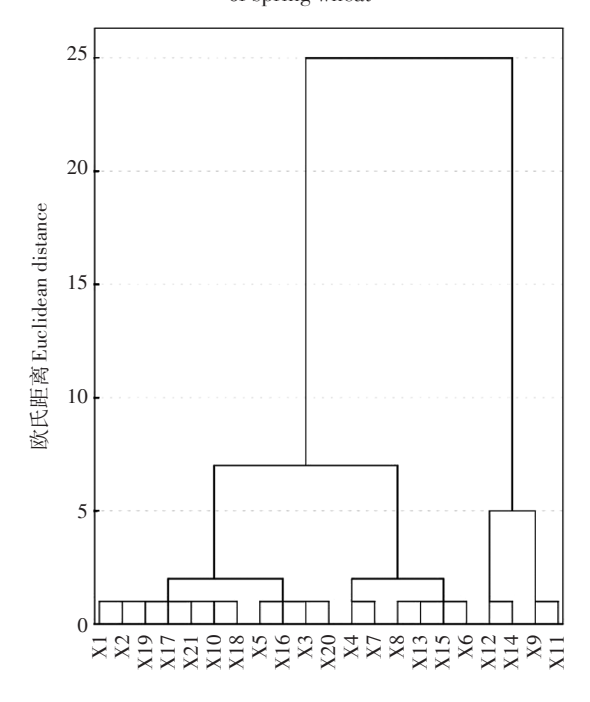


图 4 不同品种春小麦产量聚类分析

Figure 4 Cluster analysis of spring wheat yield of different varieties

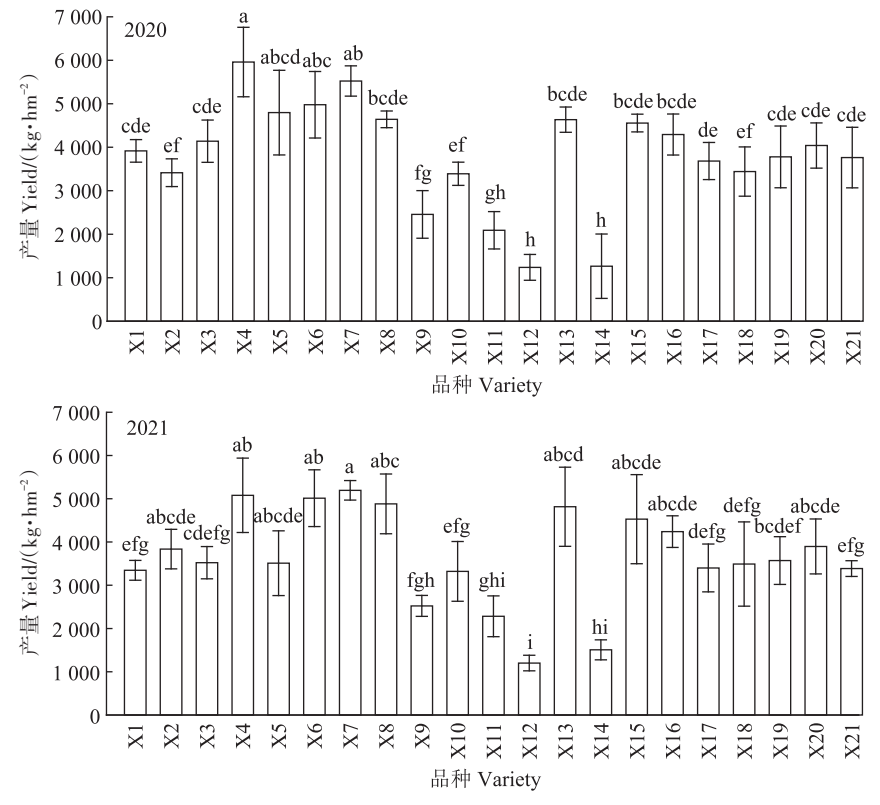
2.2.2 不同 Cd 积累能力春小麦品种产量分析

通过不同品种春小麦籽粒 Cd含量和产量的聚类分析(图1、图4)可得到以下5个类型(表4):高产低 Cd品种 X4、X6~X8、X10、X16~X21等11个,占供试品种的52.38%;高产中 Cd品种 X1~X3、X5、X13、X15等6个,占供试品种的28.57%。低产低 Cd品种 X9,占供试品种的4.76%;低产中 Cd品种 X11、X12,占供试品种的9.52%;低产高 Cd品种 X14,占供试品种的4.76%。

2.3 不同类型春小麦 Cd 富集特征差异

2.3.1 对 Cd 的 富集特征

分组统计春小麦各器官的富集系数,结果如图5



图中不同小写字母表示处理间差异显著(P<0.05),下同。

Different lowercase letters in the figure indicate significant differences among treatments (P<0.05), the same below.

图3 不同品种春小麦产量

Figure 3 Yield of different varieties of spring wheat

表 4 不同类型春小麦品种分类

Table 4 Different types of spring wheat

类型 Type	编号Serial number	品种数 Number
低产低 Cd 春小麦 Low-yielding and low Cd spring wheat	LY-LC	1
低产中 Cd 春小麦 Low-yielding and medium Cd spring wheat	LY-MC	2
低产高 Cd 春小麦 Low-yielding and high Cd spring wheat	LY-HC	1
高产低 Cd春小麦 High-yielding and low Cd spring wheat	HY-LC	11
高产中Cd春小麦High-yielding and medium Cd spring wheat	HY-MC	6

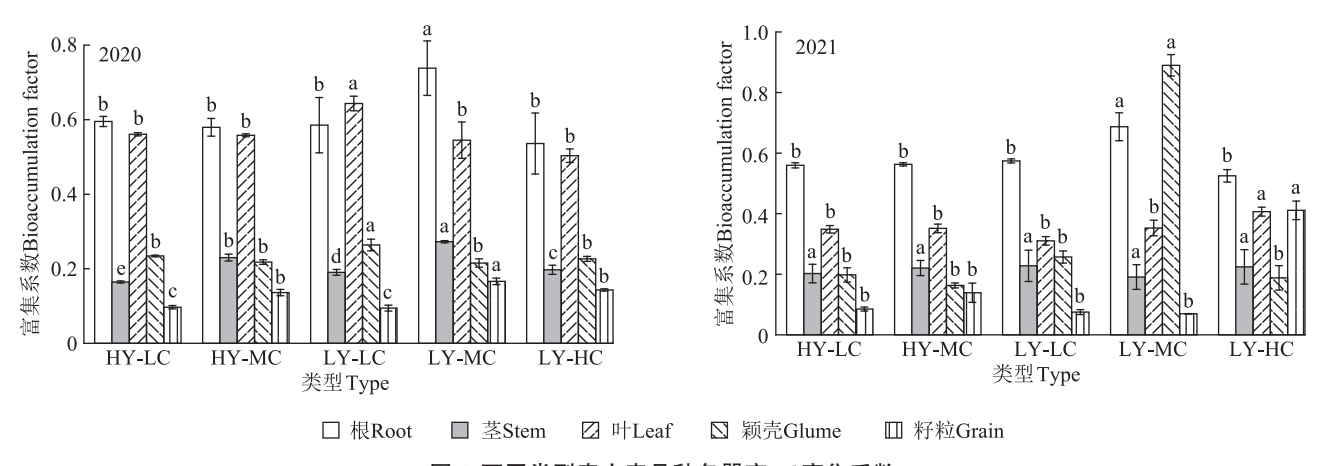


图 5 不同类型春小麦品种各器官 Cd 富集系数

Figure 5 Cd bioaccumulation factor of various organs of different types of spring wheat

所示。在两年试验中,土壤 Cd进入不同类型春小麦品种植株后主要集中在根部,低产中 Cd春小麦根中 Cd含量综合表现为最高;2020年高产低 Cd春小麦品种茎中 Cd含量较高产中 Cd、低产低 Cd、低产中 Cd、低产高 Cd类型品种分别显著低 35.30%、11.77%、58.82%、17.65%。除低产低 Cd和低产高 Cd两个类型的春小麦外,其他类型春小麦在两年中的 Cd富集系数均呈现为根>叶>颖壳≈茎>籽粒的规律,且各器官的富集系数均小于1。

2.3.2 籽粒 Cd 富集系数与其他器官 Cd 富集系数的相关性

将春小麦籽粒 Cd 富集系数与其他器官的 Cd 富集系数进行相关性分析,结果如表5所示。两年数据共同表现为茎的 Cd 富集系数与籽粒 Cd 的富集系数导显著正相关关系。

2.4 不同类型春小麦 Cd 转运特征差异

2.4.1 对 Cd 的转运特征

分组统计春小麦各器官间 Cd转运系数,结果如图 6所示。综合两年试验结果表明,不同类型春小麦根到茎和根到籽粒的 Cd转运系数均小于1;Cd从茎到叶的转运系数均值最大,2020年和2021年分别为

表 5 春小麦籽粒 Cd 富集系数与各器官 Cd 富集系数的相关性 Table 5 Correlation between Cd bioaccumulation factor of spring wheat grains and Cd bioaccumulation factor of various organs

_	年份 Year	$BCF_{\#} \ BCF_{ m Root}$	$BCF_{\Xi} \\ BCF_{ ext{Stem}}$	$BCF_{ ext{leaf}}$	BCF 顯売 BCF_{Glume}
	2020	0.405**	0.816**	0.006	0.057
	2021	-0.223	0.473*	0.120	-0.153

注:*表示0.05 水平上的显著相关性,**表示0.01 水平上的极显著相关性。下同。

Note: * indicates the significant correlation at the 0.05 level, ** indicates the significant correlation at the 0.01 level. The same below.

2.83和2.15。

低产高 Cd类型春小麦品种 Cd从根、茎、叶、颖壳 到籽粒的 Cd转运系数均显著高于高产低 Cd类型春小麦品种 (P<0.05), 2020年分别显著高 58.82%、21.67%、61.1%、68.97%; 2021年分别显著高 431.25%、414.03%、300%、356.52%。

2.4.2 籽粒 Cd 富集系数与其他器官 Cd 转运系数的相 关性

将春小麦籽粒 Cd 富集系数与其他器官的 Cd 转运系数进行相关性分析,结果如表6所示。两年数据共同表现为 Cd 从根、茎、叶、颖壳到籽粒的 Cd 转运系

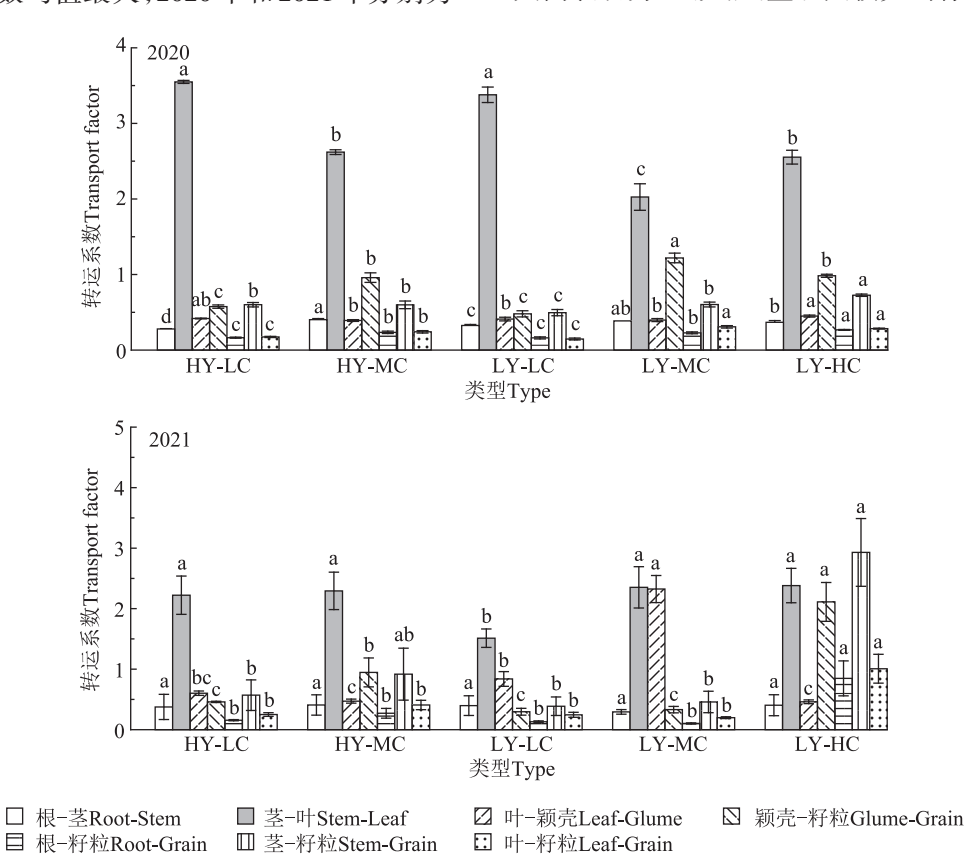


图 6 不同类型春小麦品种各器官间 Cd 转运系数

Figure 6 Cd transport factor among organs of different types of spring wheat

表6春小麦籽粒Cd富集系数与各器官Cd转运系数的相关性

Table 6 Correlation between Cd bioaccumulation factor of wheat grains and Cd transport factor of various organs

年份 Year	TF 根-茎 $TF_{ m Root-Stem}$	$TF_{ar{ar{ar{ar{ar{ar{ar{ar{ar{ar$	TF 叶-颖元 $TF_{ m Leaf ext{-}Glume}$	TF _{颖売-籽粒} $TF_{ m Glume-Seed}$	TF 根-籽粒 $TF_{ m Root ext{-Seed}}$	TF 茎-籽粒 $TF_{ m Stem-Seed}$	TF 叶—籽粒 $TF_{ ext{Leaf-Seed}}$
2020	0.809*	-0.957**	-0.018	0.992**	0.845**	0.579*	0.980**
2021	-0.221	0.399	-0.348	0.893**	0.998**	0.972**	0.998**

数与籽粒Cd的富集系数呈显著正相关关系。

3 讨论

筛选和培育具有低Cd积累特性的作物品种是使 Cd污染土壤得到持续安全生产且经济、有效的途径 之一[16]。低 Cd 积累作物的评价基本采用籽粒 Cd 含 量、转移系数或富集系数等对材料进行初步聚类分析 以确定材料的类型,选择作物可食部位吸收Cd含量 或关键指标进行评价,可较好地体现出相同作物不同 品种间对Cd的吸收差异[17]。本研究所选的21个春小 麦品种籽粒 Cd的富集系数在2期大田试验中均小于 1,说明供试品种对 Cd 均具较高的耐受性。李乐乐 等[18]根据国家标准(GB 2715—2016)以及聚类分析、 标靶危害系数、富集系数和转运系数筛选出了16个 可在中轻度Cd污染农田推广种植的小麦品种。本研 究对21个春小麦品种进行低Cd积累品种筛选的基 础上结合产量,筛选出了11个可在Cd污染农田进行 推广种植的具有低Cd高产特性的春小麦品种。明毅 等[12]通过籽粒 Cd 含量和产量进行综合聚类分析,获 得了同时具有低Cd且高产特性的小麦品种。本研究 在2期大田试验中,通过结合籽粒Cd含量、籽粒产量 和标靶危害系数筛选出了11个低 Cd 高产的春小麦 品种,丰强10号(X8)、EM604(X17)、宁春50号 (X19)、H3015(X20)虽籽粒 Cd 含量超过了国家食品 安全标准值,但这4个品种标靶危害系数值均小于1, 人体摄入后对人体健康不会造成明显影响。因此,从 经济收益和粮食安全角度,可考虑将筛选出的Cd低积 累且高产的春小麦品种在轻度Cd污染农田进行推广 种植,使受污染农田得到安全利用的同时增加收益。

土壤中的 Cd 离子通过质外体或共质体途径进入植物根系,根系是 Cd 进入植物体内的首要门户,是 Cd 的主要积累器官。籽粒中 Cd 含量取决于地上部各器官 Cd 的吸收、运输[19],同种作物不同类型间 Cd 吸收转运存在差异[20-22]。本研究发现,不同类型春小麦品种各器官中根部的 Cd 富集系数最大、籽粒 Cd 富集系数最小,这表明大量的 Cd 都被根固定吸收,这与刘畅等[23]和辛艳卫等[20]、邓婷等[23]在高、低 Cd 积累冬

小麦和玉米品种各器官 Cd含量差异研究结果一致。在不同类型春小麦品种籽粒 Cd富集系数与其他器官 Cd富集系数的相关性分析中,茎的 Cd富集系数与籽粒 Cd富集系数呈显著的正相关关系,这与胡莹等^[24]研究结果一致。对各类型春小麦根的 Cd富集系数进行对比发现,在2020年试验中低产中 Cd和低产高 Cd类型的春小麦茎的 Cd富集系数与高产低 Cd类型间春小麦茎的 Cd富集系数呈显著差异,蔡秋玲等^[8]研究结果中,低产高 Cd春小麦和低产低 Cd春小麦的 Cd富集系数之间有显著差异,且该研究发现不同产量和富集能力的水稻类型的差异主要在于茎和叶的富集与转移。本研究两年试验结果表明,低产中 Cd类型的春小麦品种和高产低 Cd类型春小麦茎部 Cd富集系数存在差异。

Cd 转运系数是评价 Cd 在植物体内的分配情况 及植物对Cd转运能力的重要指标[25]。地上部的转运 主要经历的过程包括Cd离子进入木质部、木质部的 转运及韧皮部的输送。前人研究表明,籽粒中Cd含 量的差异取决于根和茎叶中Cd从穗轴向颖壳和籽粒 的转运与再分配[19], 茎是地上部 Cd 转运的主要通 道[26]。本研究结果表明,在2期大田试验中,各器官 到籽粒的Cd转运系数中,Cd由茎和颖壳向籽粒的转 移能力均较根和叶向籽粒的转运能力强,其中,低产 高 Cd 春小麦品种 Cd 从茎到籽粒的转运系数显著高 于其他类型品种;各器官Cd转运系数中Cd由茎到叶 的转运系数最大,其中,高产低Cd类型春小麦品种 Cd由茎到叶的转运系数较其他类型高 0.45~1.52 倍, 这与蔡秋玲等图的研究结果一致,与其研究结果不同 的是,本研究结果中Cd从叶到颖壳和叶到籽粒的转 运系数较其他类型春小麦品种小。综上结果分析表 明,高产低Cd类型的春小麦品种大量的Cd被截留在 叶中。在相关性分析中,Cd从各器官到籽粒的Cd转 运系数均与籽粒Cd的富集系数呈正相关关系,在 2021年低产高Cd类型各器官到籽粒的Cd转运系数 较其他类型品种高,而2期试验结果表现并不稳定。

从本研究结果可见,高产低Cd和低产高Cd两个 类型的春小麦品种的差异在于Cd在茎中的富集和 1002 农业环境科学学报 第42卷第5期

Cd由根、茎、叶、颖壳到籽粒的转运,由此在生产过程中采取有效阻控措施控制根对 Cd的吸收及向地上各器官的转运均可能降低籽粒中 Cd含量。

4 结论

- (1)不同类型春小麦品种各器官 Cd含量及 Cd富集系数总体表现为根>叶>颖壳~茎>籽粒的规律,且各器官的富集系数均小于1;高产低 Cd类型春小麦品种和低产高 Cd类型春小麦品种的主要差异在于 Cd 在茎的富集和 Cd从根、茎、叶、颖壳到籽粒的转运。
- (2) X4、X6~X8、X10、X16~X21等11个品种标靶 危害系数均小于1,且同时具有低Cd高产特性,可优 先考虑在Cd污染农田进行推广种植。

参考文献:

- [1] 曾希柏, 徐建明, 黄巧云, 等. 中国农田重金属问题的若干思考[J]. 土壤学报, 2013, 50(1):186-194. ZENG X B, XU J M, HUANG Q Y, et al. Reflections on heavy metals in farmland in China[J]. Acta Pedologica Sinica, 2013, 50(1):186-194.
- [2] 程旺大, 张国平. 晚粳稻籽粒中 As、Cd、Cr、Ni、Pb等重金属含量的基因型与环境效应及其稳定性[J]. 作物学报, 2006, 32(4):573-579. CHENG W D, ZHANG G P. Genotypic and environmental effects and stability of heavy metal content such as As, Cd, Cr, Ni and Pb in late japonica rice grain[J]. *Acta Agronomica Sinica*, 2006, 32(4):573-579.
- [3] 环境保护部和国土资源部发布全国土壤污染状况调查公报[J]. 资源与人居环境, 2014(4):26-27. The Ministry of Environmental Protection and the Ministry of Land and Resources issued a communique on the investigation of soil pollution status in China[J]. Resources and Human Settlement Environment, 2014(4):26 27.
- [4] 何俊瑜, 王阳阳, 任艳芳, 等. 镉胁迫对不同水稻品种幼苗根系形态和生理特性的影响[J]. 生态环境学报, 2009, 18(5):1863-1868. HE J Y, WANG Y Y, REN Y F, et al. Effects of cadmium stress on root morphology and physiological characteristics of seedlings of different rice varieties[J]. Journal of Ecological Environment, 2009, 18(5): 1863-1868.
- [5] LIU W T, LIANG L C, ZHANG X, ZHOU Q X. Cultivar variations in cadmium and lead accumulation and distribution among 30 wheat (*Triticum aestivum L.*) cultivars[J]. *Environmental Science Pollution Re*search International, 2015, 22(11):8432-8441.
- [6] ZHAO F J, MA Y, ZHU Y G, et al. Soil contamination in China; Current status and mitigation strategies[J]. Environmental Science and Technology, 2015, 49(2):750-759.
- [7] 刘维涛, 周启星, 孙约兵, 等. 大白菜对铅积累与转运的品种差异研究[J]. 中国环境科学, 2009, 29(1):63-67. LIU W T, ZHOU Q X, SUN Y B, et al. Cultivar differences between lead accumulation and transport in Chinese cabbage[J]. *China Environmental Science*, 2009, 29(1):63-67.

- [8] 蔡秋玲, 林大松, 王果, 等. 不同类型水稻镉富集与转运能力的差异分析[J]. 农业环境科学学报, 2016, 35(6):1028-1033. CAI Q L, LIN D S, WANG G, et al. Differences in cadmium accumulation and transfer capacity among different types of rice cultivars[J]. Journal of Agro-Environment Science, 2016, 35(6):1028-1033.
- [9] 艾金华, 廖晓勇, 王凌青, 等. 镉胁迫下小麦镉低累积品种筛选[J]. 南昌大学学报(理科版), 2019, 43(2):175-181. AI J W, LIAO X Y, WANG L Q, et al. Screening of low cadmium accumulation cultivars in wheat under cadmium stress[J]. Journal of Nanchang University (Natural Science), 2019, 43(2):175-181.
- [10] 杨惟薇, 刘敏, 曹美珠, 等. 不同玉米品种对重金属铅镉的富集和转运能力[J]. 生态与农村环境学报, 2014, 30(6):774-779. YANG W W, LIU M, CAO M Z, et al. Enrichment and transshipment capacity of heavy metal lead and cadmium by different maize cultivars[J]. Journal of Ecology and Rural Environment, 2014, 30(6):774-779.
- [11] YOUSAF B, LIU G J, WANG R W, et al. Bioavailability evaluation, uptake of heavy metals and potential health risks via dietary exposure in urban-industrial areas[J]. Environmental Science & Pollution Research International, 2016, 23(22):1-11.
- [12] 明毅, 张锡洲, 余海英. 小麦籽粒镉积累差异评价[J]. 中国农业科学, 2018, 51(22): 4219-4229. MING Y, ZHANG X Z, YU H Y. Differential evaluation of cadmium accumulation in wheat grain[J]. Scientia Agricultura Sinica, 2018, 51(22): 4219-4229.
- [13] 鲍士旦. 土壤农化分析[M]. 北京:中国农业出版社, 2000: 495. BAO S D. Soil agrochemical analysis[M]. *Beijing: China Agricultural Press*, 2000: 495.
- [14] 喻华, 冯文强, 秦鱼生, 等. 石墨炉原子吸收法测定植株镉消除背景值的改进方法[J]. 光谱学与光谱分析, 2009, 29(9):2577-2580. YU H, FENG W Q, QIN Y S, et al. Improved method for determination of plant cadmium elimination background value by graphite furnace atomic absorption spectrometry[J]. Spectroscopy and Spectral Analysis, 2009, 29(9):2577-2580.
- [15] 程加迁, 王俊平. 蔬菜水果重金属膳食暴露评估中风险权重的确定方法[J]. 食品科学, 2018, 39(1):47-52. CHENG J Q, WANG J P. Determination of risk weights in dietary exposure assessment of heavy metals in vegetables and fruits[J]. Food Science, 2018, 39(1):47-52.
- [16] 张路, 张锡洲, 李廷轩, 等. 水稻镉安全亲本材料对镉的吸收分配特性[J]. 中国农业科学, 2015, 48(1): 174-184. ZHANG L, ZHANG X C, LI T X, et al. Absorption and distribution characteristics of cadmium by safe parent materials of cadmium in rice[J]. Scientia Agricultura Sinica, 2015, 48(1): 174-184.
- [17] 熊孜, 李菊梅, 赵会薇, 等. 不同小麦品种对大田中低量镉富集及转运研究[J]. 农业环境科学学报, 2018, 37(1):36-44. XIONG Z, LI J M, ZHAO H W, et al. Study on the enrichment and transport of low and medium cadmium in different wheat varieties in the field[J]. Journal of Agro-Environment Science, 2018, 37(1):36-44.
- [18] 李乐乐, 刘源, 李宝贵, 等. 镉低积累小麦品种的筛选研究[J]. 灌溉排水学报, 2019, 38(8):53-58, 72. LI L L, LIU Y, LI B G, et al. Screening of wheat varieties with low cadmium accumulation[J]. *Journal of Irrigation and Drainage*, 2019, 38(8):53-58, 72.

- [19] SHI G L, LI D J, WANG Y F, et al. Accumulation and distribution of arsenic and cadmium in winter wheat (*Triticum aestivum* L.) at different developmental stages[J]. Science of the Total Environment, 2019, 667:532-539.
- [20] 辛艳卫, 梁成华, 杜立宇, 等. 不同玉米品种对镉的富集和转运特性[J]. 农业环境科学学报, 2017, 36(5):839-846. XIN Y W, LI-ANG C H, DU L Y, et al. Accumulation and transport characteristics of cadmium in different maize varieties[J]. Journal of Agro-Environment Science, 2017, 36(5):839-846.
- [21] 杨素勤, 程海宽, 张彪, 等. 不同品种小麦 Pb 积累差异性研究[J]. 生态与农村环境学报, 2014, 30(5):646-651. YANG S Q, CHENG H K, ZHANG B, et al. Study on Pb accumulation differences of different varieties of wheat[J]. Journal of Ecology and Rural Environment, 2014, 30(5):646-651.
- [22] 刘畅, 徐应明, 黄青青, 等. 不同冬小麦品种镉富集转运及离子组特征差异[J]. 环境科学, 2022, 43(3):1596-1605. LIU C, XU Y M, HUANG Q Q, et al. Differences in cadmium accumulation, transport and ionome characteristics in different winter wheat varieties[J]. Environmental Science, 2022, 43(3):1596-1605.

- [23] 邓婷, 卢维盛, 吴家龙, 等. 不同玉米品种对土壤镉富集和转运的 差异研究[J]. 华南农业大学学报, 2019, 40(4):33-39. DENG T, LU W S, WU J L, et al. Differences in soil cadmium accumulation and transport among different maize varieties[J]. Journal of South China Agricultural University, 2019, 40(4):33-39.
- [24] 胡莹, 黄益宗, 段桂兰, 等. 镉对不同生态型水稻的毒性及其在水稻体内迁移转运[J]. 生态毒理学报, 2012, 7(6):664-670. HUY, HUANGYS, DUANGL, et al. Toxicity of cadmium to different ecological types of rice and its transport in rice[J]. Asian Journal of Ecotoxicology, 2012, 7(6):664-670.
- [25] 毛旭, 付天岭, 何腾兵, 等. 苦荞低镉积累品种筛选及富集转运特征分析[J]. 地球与环境学报, 2022, 50(1):103-109. MAO X, FU T L, HE T B, et al. Screening and enrichment and transport characteristics of low cadmium accumulation cultivars of buckwheat[J]. Journal of Earth Sciences and Environment, 2022, 50(1):103-109.
- [26] ZHANG L G, ZHANG C, DU B Y, et al. Effects of node restriction on cadmium accumulation in eight Chinese wheat (*Triticum turgidum*) cultivars[J]. Science of the Total Environment, 2020, 725:138358.